# СПИСОК ЛИТЕРАТУРЫ

- Кузьмин В.М. Электронагревательные устройства трансформаторного типа. Владивосток: Дальнаука, 2001. 144 с.
- Сериков А.В., Кузьмин В.М. Рекомендации для расчёта трансформатора с короткозамкнутой кольцевой вторичной обмоткой // Известия Томского политехнического университета. – 2011. – Т. 319. – № 4. – С. 79–84.
- 3. Жежеленко И.В. Высшие гармоники в системах электроснабжения промпредприятий. 2-е изд., перераб. и доп. М.: Энергоатомиздат, 1984. 160 с., ил.
- Черных И.В. Моделирование электротехнических устройств в MATLAB, SimPowerSystems и Simulink. – М.: ДМК Пресс; СПб.: Питер, 2008. – 288 с.: ил.
- ГОСТ 13109–97. Нормы качества электрической энергии в системах электроснабжения общего назначения. Взамен ГОСТ 13109-87; Введ. 01.01.99 г. М.: Изд-во стандартов, 1999. 32 с.; Переиздание. Август 2006 г. М.: Стандартинформ, 2006. 32 с.

Поступила 20.01.2012 г.

УДК 621.3:536.7:678

# ЭНЕРГОЭФФЕКТИВНЫЕ КОМПОЗИЦИОННЫЕ ЭЛЕКТРООБОГРЕВАТЕЛИ АНТИОБЛЕДЕНИТЕЛЬНЫХ СИСТЕМ

М.В. Халин, Е.И. Востриков

Алтайский государственный технический университет им. И.И. Ползунова, г. Барнаул E-mail: temf@yandex.ru

Выполнен анализ существующих кабельных антиобледенительных систем, выявлены их достоинства и недостатки. Поставлены задачи исследований для широкого применения пластинчатых и объемных многоэлектродных композиционных электрообогревателей на основе бутилкаучука в антиобледенительных системах. Проведен комплекс электрофизических испытаний, который определил условия технологического регламента изготовления электрообогревателей с эффектами самостабилизации и саморегулирования. Доказана возможность длительной эксплуатации электрообогревателей во влажной и агрессивной среде и целесообразность их использования в антиобледенительных системах.

#### Ключевые слова:

Антиобледенительная система, многоэлектродный композиционный электрообогреватель, самостабилизация, саморегулирование, влажная и агрессивная среды.

### Kev words:

Anti-ice system, multi-electrode composite electric heater, self-stabilization, self-regulation, damp and aggressive environments.

# Введение

Антиобледенительные системы зданий и сооружений, появившиеся сравнительно недавно, доказали свою эффективность и во всем мире используются в строительном производстве. Использование таких систем позволяет исключить образование наледи в водосточных трубах, желобах, воронках и других местах ее наиболее вероятного появления. Образование наледи приводит к уменьшению (вплоть до полного прекращения) оттока воды через водосточные желоба и трубы, что представляет серьезную опасность для жизни и здоровья людей и может привести к значительному материальному ущербу.

Основным элементом антиобледенительной системы являются нагревательные секции, назначение которых преобразовывать протекающий по ним ток в тепловую энергию. Поэтому мощность на единицу длины (удельное тепловыделение), а также площадь нагревательного элемента — их важнейшие электро-, теплофизические параметры.

Современные антиобледенительные системы базируются на четырёх типах кабелей: резистивных, бронированных, зональных и саморегулируе-

мых, которые на российском рынке представлены следующими фирмами производителями «СПЕ-ЦИАЛЬНЫЕ СИСТЕМЫ И ТЕХНОЛОГИИ» или ССТ (Россия), THERMO, KIMA Heating Cable (Швеция), CEILHIT (Испания), ENSTO, TASH (Финляндия), NEXANS Norway, AS ALCATEL (Норвегия/ Франция), DEVI (Дания) [1].

Анализ кабельных систем обогрева (табл. 1), выявил следующие недостатки:

- одинаковая теплоотдача кабеля по всей длине, что приводит к тому, что на одних участках кабель перегревается, а на других выделяемого им тепла может быть недостаточно для обеспечения удовлетворительного функционирования системы;
- малая площадь теплоотдачи кабеля, что требует использования значительной мощности для успешной работы системы;
- потеря работоспособности кабеля на всей длине секции при выходе из строя нагревательной жилы или повреждении изоляции.

Наиболее эффективными являются саморегулируемые кабели, которые в отличие от резистивных автоматически меняют мощность по длине секции в зависимости от фактических потерь те-

пла: при повышении температуры их тепловыделение падает, что создает эффект саморегулирования. Однако значительная стоимость саморегулируемых кабелей ограничивает их широкое применение.

**Таблица 1.** Технические характеристики кабельных систем обогрева

Тип кабеля	Объект по- догрева	Диапазон мощностей, Вт/м	Длина сек- ции	Примени- мость на кровлях
Резистив- ные	Полы	530	Фиксиро- ванная 10200 м	Ограничен- ная
Брониро- ванные	Открытые площадки, водостоки	2045	Фиксированная с возможностью прирезки по месту 12 м	Подогрев длинных водостоков, капельни- ков, бетон- ных лотков
Зональные	Трубопро- воды	1570	Любая, до 150 м резка по месту	Подогрев длинных водостоков
Саморегу- лируемые	Трубопро- воды, лот- ки, водо- стоки	890	Любая, до 150 м резка по месту	Полная

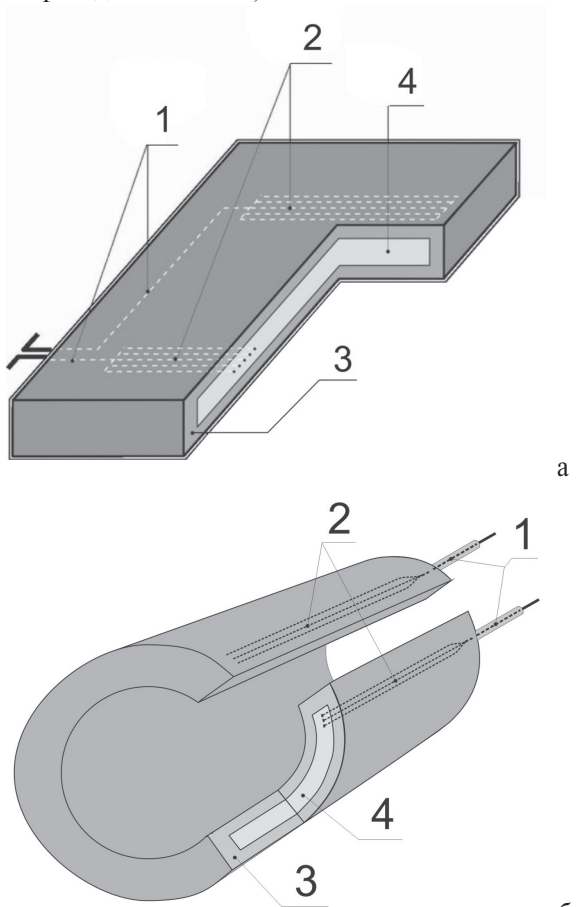
#### Постановка задач

В связи с необходимостью совершенствования функционирования антиобледенительных систем определены следующие задачи исследований:

- разработка конструкций на основе энергоэффективного поверхностно-распределенного способа обогрева с использованием пластинчатых и объемных многоэлектродных композиционных электрообогревателей (МКЭ) и обоснование их технико-экономической целесообразности;
- выполнение комплексных экспериментальных исследований электро-, теплофизических характеристик композиционных электрообогревателей с целью определения необходимых параметров композиции и конструкции электрообогревателя;
- разработка устройств антиобледенительных систем водостоков кровли и подходов к зданиям на базе композиционных электрообогревателей с учетом предъявляемых к ним специальных требований: высокой прочности электрической изоляции; небольших токов утечки; достаточной теплоотдачи; стойкости к воздействию влаги, солнечной радиации; работе в широком диапазоне температур; низким энергопотреблением и т. д.

# Результаты и их обсуждение

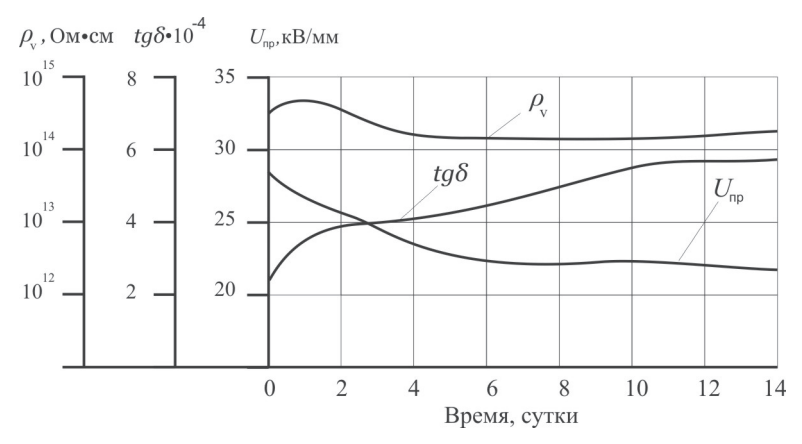
Предлагается система обогрева на базе многоэлектродных композиционных электрообогревателей [2, 3], рис. 1. Электроизоляционный слой — 3 представляет собой композицию на основе бутилкаучука с выраженными электроизоляционными свойствами и улучшенными физико-механическими показателями, электропроводный слой — 4 изготовлен на основе бутилкаучука с техническим углеродом марок N-330, N-220. Электроды — 2 и токоподводы — 1 выполнены из медного гибкого провода сечением 1,5 мм².



**Рис. 1.** Схематическое изображение МКЭ: а) пластинчатого; б) объемного

Проведенные исследования [4, 5] различных резиновых смесей доказали, что изделия из бутил-каучука обладают рядом отличительных свойств, достаточных и необходимых для создания электрообогревателей, работающих в антиобледенительных системах. Резины на основе бутилкаучука обладают высоким сопротивлением тепловому старению, устойчивы к действию азота, влаги, кислот и щелочей, а так же имеют высокие электроизоляционные свойства в широком диапазоне температур [6].

Для изоляционного слоя МКЭ получены зависимости удельного объемного сопротивления  $\rho_v$ , тангенса угла диэлектрических потерь  $\mathrm{tg}\delta$  и электрической прочности  $U_{\mathrm{пp}}$  от времени воздействия влаги (полное погружение изделия в воду) при нормальных температурных условиях (20±5 °C), рис. 2. Исследования проведены по ГОСТ [7] с использованием измерителя ёмкости и  $\mathrm{tg}\delta$  E8-4 и установки высокого напряжения ПУС-4.



**Рис. 2.** Зависимость  $\rho_{v}$ ,  $tg\delta$  и  $U_{np}$  от времени воздействия влаги

Для определения показателей физико-механической прочности (ФМП), характеризующих старение резин в агрессивной среде, а, значит, и условий эксплуатации изоляционного слоя МКЭ, проведены исследования в ЦЗЛ ОАО «Барнаульская шинная компания» в соответствии с действующими методиками по ГОСТ [8, 9].

В табл. 2 приведены показатели ФМП, соответствующие производственным нормам по ГОСТ, и полученные усредненные значения для четырёх образцов резиновых смесей, используемых для изоляционного слоя МКЭ (ПРИ-1-11).

Анализ данных табл. 2 позволяет сделать вывод о пригодности резиновой смеси ПРИ в качестве изоляционного слоя для производства электрообогреватей МКЭ.

Таблица 2. Показатели ФМП резиновых смесей

	Показатели ФМП					
Тип смеси	Условная прочность при растяжении $f_{\rm p}$ , МПа	Относительное удлинение $\varepsilon_{\rm p}$ , %	Пластич- ность <i>P</i> , у.е.	Относительное остаточное удлинение $\Theta$ , %		
По ГОСТ [8, 9]	8,0 не менее	500 не менее	0,30 не менее	30 не более		
ПРИ-1-11	12,9	530	0,39	16		

Методика испытаний МКЭ на стойкость к агрессивным средам определяется по ГОСТ [10]. Сущность метода заключается в том, что образцы в ненапряженном состоянии подвергаются воздействию сред при заданной температуре и продолжительности и определяют их стойкость к указанному воздействию по изменению массы, объема или размеров.

В качестве агрессивной среды в исследованиях использованы: 5 % раствор аммиака; 10 и 20 % растворы серной кислоты; 10 и 20 % растворы гидрооксида натрия; вода. Время набухания в агрессивной среде — 24 ч.

Показатели ФМП после воздействия агрессивной среды приведены в табл. 3, где  $\Delta P-$  изменение пластичности образца.

**Таблица 3.** Показатели ФМП образцов резиновой смеси ПРИ-1–11 после воздействия агрессивной среды

Вид среды	$f_{\rm p}$ , МПа	ε <sub>ρ</sub> , %	Θ, %	ΔP, %
NH₄OH, 5 %	11,1	530	21	3,85
H <sub>2</sub> SO <sub>4</sub> , 10 %	11,5	570	22	1,30
H <sub>2</sub> SO <sub>4</sub> , 20 %	11,5	550	19	2,60
NaOH, 10 %	10,4	550	20	2,52
NaOH, 20 %	8,4	560	23	7,41
H <sub>2</sub> O	12,3	540	16	0,51

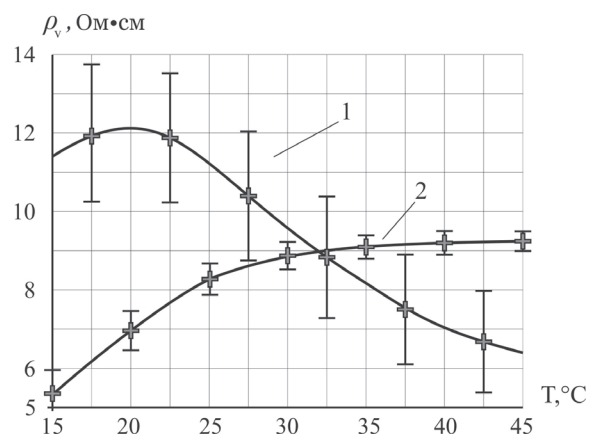
Анализ данных табл. 3 показывает, что резиновая смесь ПРИ-1-11 в нормальных условиях соответствующая требованиям, предъявляемым к данному типу резин, после воздействия агрессивной среды незначительно теряет прочность и имеет небольшой процент набухания.

С учетом специфики эксплуатации и функционирования антиобледенительных систем из всего многообразия разработанных конструкций МКЭ в качестве базовых выбраны два типа: пластинчатые, размером  $200 \times 135 \times 10$  мм, и объемные цилиндрического типа, размерами: внутренний  $\varnothing 24$  и внешний  $\varnothing 44 \times 200$  мм [11]. Первый тип может эксплуатироваться на карнизах, яндовых, воронках и коробах, второй — в водосточных трубах.

Для энергоэффективного использования электообогревателей МКЭ необходимо определить состав электропроводящей композиции, обеспечивающей эффекты саморегулирования и самостабилизации мощности в зависимости от окружающей температуры и условий эксплуатации.

Для исследования зависимости  $\rho_v$  электропроводного слоя от изменения температуры были выбраны две партии в каждой по пять МКЭ из высоконаполненных (41...52,5 м.ч. технического углерода (ТУ) и слабонаполненных (30...35 м.ч. ТУ) бутилкаучуков. Измерения проводились при температуре окружающей среды 18...20 °C, образец располагали на деревянном основании, на электрообогреватель подавалось напряжение 220 В частотой 50 Гц, через каждые пять минут в течение первого часа и через каждые десять в течение второго измерялись напряжение, ток МКЭ и температура

на его поверхности. Измерения проводились в течение 2 ч. Результаты исследований представлены на рис. 3.



**Рис. 3.** Усредненные зависимости  $\rho_{v}$  электропроводного слоя образцов МКЭ от температуры: 1) первой партии; 2) второй партии

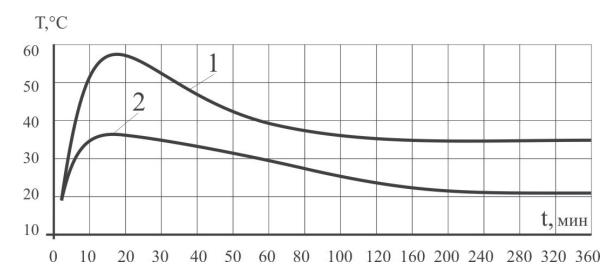
Для приведенных зависимостей характерно, что в первое время идет увеличение удельного сопротивления, затем оно стабилизируется или незначительно меняется для первой партии образцов, что характеризуется положительным температурным коэффициентом. Установлено, что характер зависимости  $\rho_v = f(T)$  аналогичен для образцов всей партии, среднее отклонение составило  $\pm 7~\%$  от измеряемой величины. Полученные характеристики подтверждают возможность работы МКЭ в режиме самостабилизации температуры на поверхности.

У второй партии образцов после достижения определенной температуры наблюдается снижение удельных сопротивлений (рис. 4), что характеризуется отрицательным температурным коэффициентом. Анализ приведенных зависимостей свидетельствует о преобладании связей полимер – проводящий наполнитель в резистивной фазе КМ, что характерно для полупроводниковых материалов и делает возможным работу МКЭ в режиме саморегулирования. В данном случае рецептура композиции в отличие от высоконаполненных полимеров содержит: 30...35 м.ч. ТУ, уменьшенное количество жирных органических кислот, например, стеариновой (до 2,5 м.ч.). Вследствие этого при технологии изготовления следует увеличить время смешения до 9 мин., температуру вулканизации снизить до 165 °C при давлении 11 МПа, время вулканизации – 30 мин., температуру выгрузки смеси довести до 80 °C. Таким образом, направленным изменением состава и соотношения ингредиентов композиции и регулированием технологического регламента изготовления можно получить МКЭ, обеспечивающие работу в режиме саморегулирования. При работе в этом режиме в отдельных случаях необходимо устанавливать терморегулирующие устройства.

По результатам электрофизических исследований установлены основные принципы реализации технологий поверхностно-распределенного элек-

трообогрева как со самостабилизацией температуры на поверхности композиционного электрообогревателя, так и с эффектом саморегулирования, включающие определение интервала температур, конструктивных параметров, рецептуры композиции проводящей фазы полимерного материала, технологических параметров изготовления.

Электрофизические характеристики исследовались на электрообогревателях — образцах: пластинчатых, размером  $200 \times 135 \times 10$  мм, и объемных, размером  $200 \times \emptyset 24 \times 10$  мм. Результаты теплофизических исследований для объемного МКЭ приведены на рис. 4.



**Рис. 4.** Зависимость температуры на поверхности объемного МКЭ от времени при выходе на рабочий режим: 1) внутри; 2) снаружи

Разработанная антиобледенительная система, рис. 5, обеспечивает надежную работу и исключает вышеперечисленные недостатки кабельных систем [2, 11].

На ремне — 1 с помощью заклепочного соединения — 2 закреплены электрообогреватели — 3, расположенные с интервалом друг от друга (рис. 5, *a*). Вдоль ремня — 1 проложены электрические провода — 4, к которым параллельно подключены электрообогреватели — 3 посредством токоподводов — 5. Для обеспечения электробезопасности используется заземляющий кабель — 6, который крепится с помощью заклепок между ремнем — 1 и электрообогревателями — 3. Собранный ремень с электрообогревателями крепится на входе пристенного водостока — 7 с помощью штанги — 8 и кронштейнов — 9.

На рис. 5, б, представлена схема подключения объемных электрообогревателей — 3, расположенных в пристенном водостоке — 10, соединенном с карнизом — 11. На тросе — 12 с помощью металлического зажима — 13 закреплены электрообогреватели — 3, расположенные с интервалом друг от друга. Вдоль заземленного стального троса — 12 проложены и соединены посредством хомутов — 14 электрические провода — 4, к которым параллельно подключены электрообогреватели — 3 через токоподводы — 5. Собранный трос с электрообогревателями крепится на входе водостока — 10 к стене с помощью болтового соединения — 15.

Опытная эксплуатация электрообогревателей МКЭ на двух объектах г. Барнаула в течение трех лет показала надежность и эффективность разработанной конструкции и позволила уменьшить затраты на электроэнергию по сравнению с кабельными системами обогрева в два раза [11].

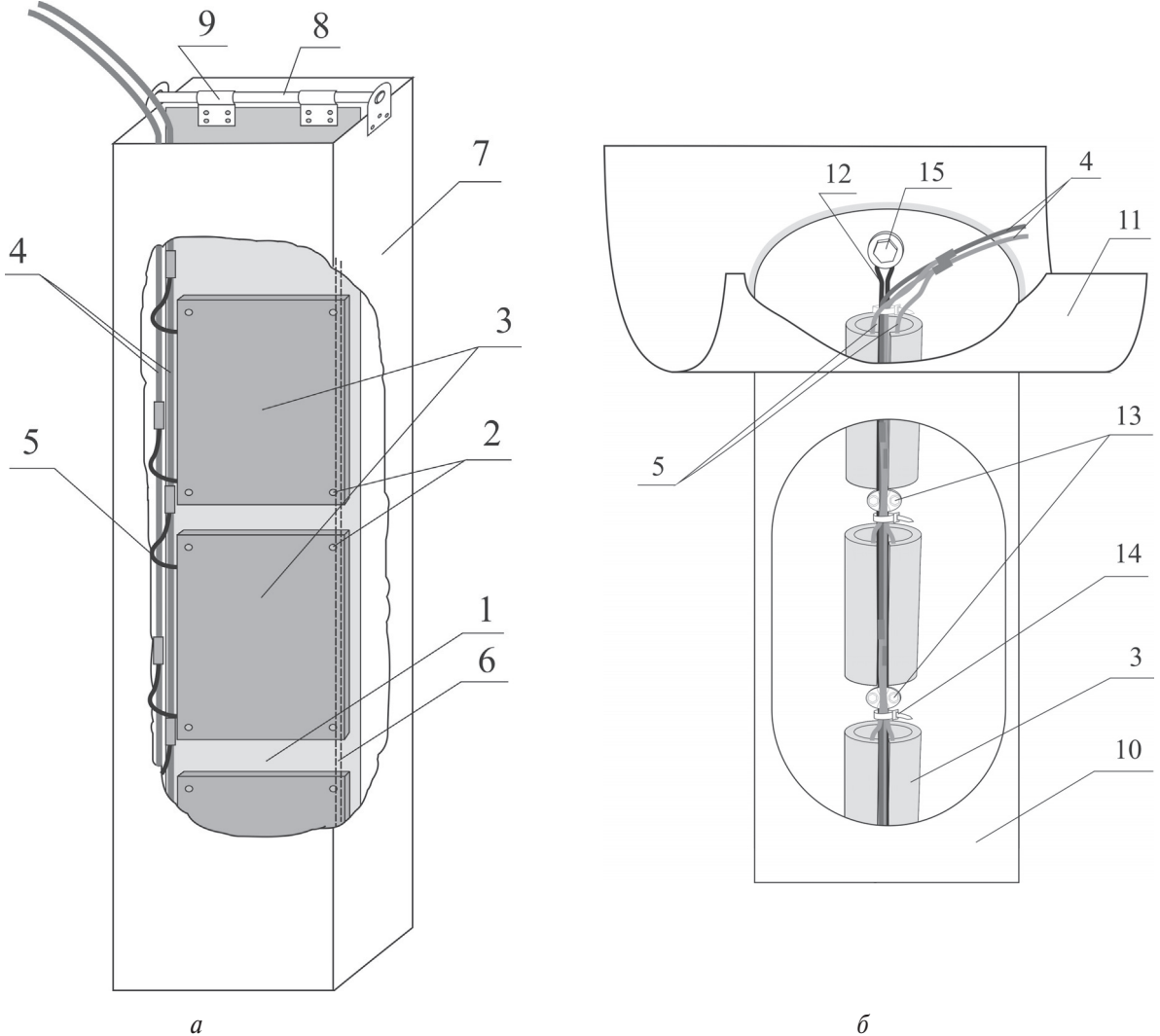


Рис. 5. Расположение МКЭ: а) пластинчатых на монтажном ремне; б) объемных на стальном тросе

# Выводы

- 1. Разработана антиобледенительная система на основе поверхностно-распределенных пластинчатых и объемных многоэлектродных композиционных электрообогревателей, преимущества которой состоят в следующем:
  - выход из строя нескольких электрообогревателей существенно не влияет на работу всей нагревательной секции, если неработающие нагреватели не сосредоточены на небольшом участке длины;
  - значительная площадь поверхности обогрева:
  - регулирование распределения мощности по длине секции: в местах наибольшего скопления льда (например, на входах и выходах водостоков) устанавливаются электрообогреватели большей мощности.

- 2. Многоэлектродные композиционные электрообогреватели обеспечивают:
  - равномерность распределения и необходимые параметры температурного поля на поверхности электрообогревателя;
  - условия электро-, пожаробезопасности, надежности, влаго- и химической стойкости в агрессивной среде, экологической чистоты;
  - теплостойкость, высокие диэлектрические показатели, теплоаккумулирующие свойства, значительную наработку на отказ;
  - надежность системы управления мощностью электрообогрева и выполнение условий саморегулирования и самостабилизации температуры;
  - энергоэффективность и экономическую целесообразность применяемых технических средств электрообогрева.

# СПИСОК ЛИТЕРАТУРЫ

- Антиобледенительные системы // Строительный сезон. 2001. – № 5. – С. 28–33.
- Способ удаления льда с водостоков крыш зданий и сооружений: пат. 2209906 Рос. Федерация. № 2002118385/03; заявл. 08.07.02; опубл. 10.08.03, Бюл. № 22. 5 с.
- ТУ 3468-007-02067824-2003. Многоэлектродные композиционные электрообогреватели (МКЭ). № Гос. рег. 004026 / Разработчик М.В. Халин. Барнаул, 2003. 24 с.
- Евстигнеев В.В., Пугачев Г.А., Халина Т.М., Халин М.В. Расчет и проектирование низкотемпературных композиционных электрообогревателей. – Новосибирск: Наука, 2001. – 168 с.
- 5. Халин М.В. Теория и разработка низкотемпературных электрообогревателей: дис.... д-ра техн. наук. Барнаул, 1998. —
- Справочник резинщика / ред. кол. П.И. Захарченко, Ф.И. Яшунская, В.Ф. Евстратов, П.Н. Орловский. – М.: Химия, 1971. – 608 с.

- ГОСТ 20214-74. Пластмассы электропроводящие. Метод определения удельного объемного электрического сопротивления при постоянном напряжении.
- ГОСТ 270-75. Резина. Метод определения упругопрочностных свойств при растяжении.
- ГОСТ 415-75. Каучуки и резиновые смеси. Метод определения пластоэластичных свойств на пластомере.
- ГОСТ 9.030-74. Резина. Методы испытания на стойкость в ненапряженном состоянии к воздействию жидких агрессивных сред.
- Халин М.В., Востриков Е.И., Бутцев Д.В. Энергоэффективная антиобледенительная система на основе композиционных электрообогревателей // Энергообеспечение и энергосбережение – региональный аспект: Матер. докл. XII Всеросс. совещ. – Томск: Изд-во «СПБ Графикс», 2011. – С. 32–35.

Поступила 26.12.2011 г.

УДК 621.374.4/5:517

# УНИВЕРСАЛЬНЫЙ КРИТЕРИЙ ДЛЯ РАСЧЕТА ПАРАМЕТРОВ НЕЛИНЕЙНОГО КОЛЕБАТЕЛЬНОГО КОНТУРА С ПЕРИОДИЧЕСКИ ИЗМЕНЯЮЩИМСЯ ПАРАМЕТРОМ

Р.А. Вайнштейн, Н.В. Коломиец, В.В. Шестакова

Томский политехнический университет E-mail: vra@tpu.ru

Показано, что выполнение условия равенства среднего за период значения собственной частоты параметрических колебаний позволяет получить соотношения между электромагнитными и конструктивными параметрами делителя частоты на границе возникновения колебаний половинной частоты и в стационарном режиме. Полученные соотношения позволяют произвести расчеты с достаточной точностью.

# Ключевые слова:

Делитель частоты, параметрические колебания, средняя частота.

### Key words

Frequency demultiplier, parametric variation, medium frequency.

Данная работа выполнена в связи с использованием электромагнитного параметрического делителя частоты на два в качестве основного элемента источника контрольного тока, используемого для выполнения защиты от замыканий на землю в электроустановках напряжением 6—35 кВ [1].

Электромагнитный параметрический делитель частоты является известным устройством. Впервые параметрические колебания в электрических системах были реализованы и теоретически описаны Л.И. Мандельштамом и Н.Д. Папалекси [2]. Также они предложили использовать для реализации параметрических колебаний в электрических цепях индуктивность с нелинейным ферромагнитным сердечником.

Электромагнитный параметрический делитель частоты содержит два замкнутых магнитопровода из электротехнической стали A и B, на каждом из которых нанесены по две обмотки с числом витков  $w_1$  и  $w_2$ , рис. 1.

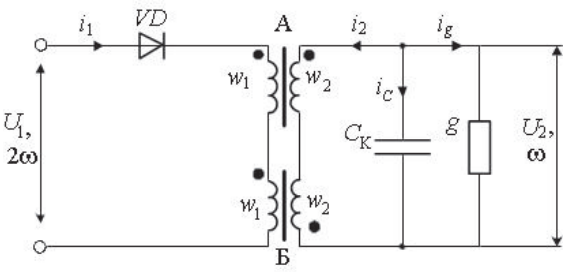


Рис. 1. Схема делителя частоты с вентилем в цепи питания

Обмотки  $w_1$  вместе с вентилем VD образуют цепь, называемую цепью возбуждения, которая подключается к источнику переменного тока с частотой  $2\omega$ . Обмотки  $w_2$  образуют вместе с конденсатором  $C_{\rm K}$  параметрически возбуждаемый колебательный контур. Обмотки сердечников A и B соединены так, что между ними нет электромагнитной связи, и поэтому вынужденные колебания с частотой  $2\omega$  в колебательном контуре отсутствуют. Роль